

혼합용매에서의 용매화(제 5 보) : 메탄올-아세톤 혼합용매계에서 *tert*-Butyl Halides 와 1-Adamantyl Tosylate의 가용매 분해반응

李益春[†] · 羅相武^{*} · 孔炳厚^{**} · 李本守 · 孫世哲

인하대학교 이과대학 화학과

*아주대학교 이과대학 화학과

**충북대학교 사대과학교육과

(1986. 8. 25 접수)

Solvation in Mixed Solvents(Part V): Solvolysis of *tert*-Butyl Halides and 1-Adamantyl Tosylate in Methanol-Acetone Mixtures

Ikchoon Lee[†], Sang-Mu La^{*}, Byung Hoo Kong^{**}, Bon-Su Lee, and Se Chul Sohn

Department of Chemistry, Inha University, Inchon 160, Korea

*Department of Chemistry, A-Ju University, Suwon 170, Korea

**Department of Science Education, Chungbuk National University, Chungju 310, Korea

(Received August 25, 1986)

요약. 메탄올-아세톤 혼합용매계에서 *tert*-butyl halides 와 1-adamantyl tosylate 가용매 분해반응과 메탄올-클로로포름 혼합용매계에서 *tert*-butyl bromide의 가용매 분해반응을 연구하였다. 메탄올-아세톤 혼합용매의 이온화 능력의 척도를 구하였으며 기질의 변화에 따른 Y 값의 변화를 논의하였다. 메탄올-아세톤 혼합용매계의 Y 값은 1-adamantyl tosylate를 이용하여 구한 값이 가장 좋은 결과를 줄을 알 수 있었으며 용매에 의한 이탈기의 electrophilic assistance는 OTs>Cl>Br>I 순서로 커짐을 알 수 있었다.

ABSTRACT. Solvolysis of *tert*-butyl halides and 1-adamantyl tosylate in methanol-acetone mixtures and Solvolysis of *tert*-butyl bromide in methanol-chloroform mixtures have been studied. Solvent ionizing power of methanol-acetone mixtures were calculated by the Grunwald-Winstein equation and discussed the Y value variation caused by substrate changes. Y values based on 1-adamantyl tosylate is superior to others since it varies in wide range for methanol-acetone mixtures. It was found that the order of electrophilic assistance to leaving group is OTs>Cl>Br>I.

서 론

Grunwald-Winstein 관계식^{1,2}에 *tert*-butyl Chloride(*t*-BuCl)가 기준 물질로 이용된 후에 *tert*-butyl halides(*t*-BuX; X=Cl, Br, I)의 가용매 분해반응에 미치는 용매효과에 관한 연구는 여러 면에서 상당한 관심을 갖고 논의되어 왔다^{3~10}. Grunwald-Winstein 관계식, (1)은 다음

과 같이 표현된다. 용매의 이온화

$$\log(k/k_0) = mY \quad (1)$$

능력의 척도인 Y는 기준 용매인 80% EtOH/H₂O 용매에서의 가용매 분해반응 속도상수(k_0)와 임의의 용매에서의 가용매 분해반응 속도상수(k)의 합으로 정의되며 m은 용매 변화에 따른 반응 기질의 감도이다. 관계식 (1)은 선택된 반응

기질의 가용매 분해반응이 완전한 S_N1 반응으로 진행될 때 잘 적용된다고 볼 수 있다.

한편 Bentley⁷와 Kevill¹¹등의 연구를 비롯한 최근의 여러 연구결과^{12, 13}는 t -BuX의 가용매 분해반응은 S_N2 메카니즘이 포함된 반응으로 진행된다고 보고하고 있으며, 따라서 t -BuX의 가용매 분해반응은 용매에 의한 이탈기-용매 사이의 상호작용(electrophilic assistance) 뿐만 아니라 t -butyl Cation-용매 사이의 상호작용(nucleophilic assistance)도 동시에 고려해야 된다고 논의하고 있다.

Taft⁸ 등은 분광용매화 파라미터를 이용한 관계식을 t -BuX 가용매 분해반응에 적용하여 용매효과를 논의하면서 용매의 극성-편극성(π^*) 효과와 수소결합주제(α)효과만이 t -BuX의 가용매 분해반응에 영향을 주며, 용매의 친핵성 효과를 나타내는 수소결합받게(β)효과는 가용매 분해반응에 영향을 주지 않는다고 보고한 바 있다.

본 연구진은 메탄올-아세토니트릴(MeOH-MeCN) 혼합용매계에서 1-adamantyl 유도체들의 가용매 분해반응에 미치는 용매효과에 관한 연구를 통하여 용매에 의한 이탈기의 안정화 및 carbocation의 안정화가 동시에 S_N1 반응속도에 영향을 준다고 보고한 바 있으며¹², 이온화 능력이 작은 용매에 대한 이온화 능력의 척도 Y 값은 용매와 수소결합 능력이 큰 이탈기를 갖는 기질로부터 얻어진 Y 값이 좋은 결과를 준다고 밝힌 바 있다.

본 연구에서는 전보^{9, 12}에 이어 메탄올-아세톤(MeOH-Me₂CO) 혼합용매계에서 t -BuX(X=Cl, Br, I) 및 1-AdOTs의 가용매 분해반응과 메탄올-클로로포름(MeOH-CHCl₃) 혼합용매계에서 t -BuBr의 가용매 분해반응을 수행하여 혼합용매의 용매조성 변화에 따른 반응에 미치는 용매효과 및 기질의 이탈기 변화 효과등에 관해 논의하였다.

실험

시약. 용매로 사용한 메탄올¹⁴, 아세톤¹⁴ 및 클로로포름¹⁵은 문현의 방법대로 정제하여 사용

하였다. 반응기질인 t -BuCl(bp 50.8°C, 760mmHg), t -BuBr(bp 83°C, 760mmHg) 및 t -BuI(bp 20.8°C, 30mmHg)는 TCI GR급 시약을 재증류하여 사용하였으며 1-AdOTs는 1-adamantyl bromide와 silver-*p*-toluene sulfonate로부터 합성하여¹² 사용하였다. mp 73~78°C(lit.¹⁶ 72~79°C).

반응속도의 측정. 반응속도 상수는 Backmann model RC-18A 형 전도도기기를 이용하여 전기 전도도법으로 측정하였으며, 반응 온도는 ±0.05°C 범위에서 일정하게 유지하였다. 반응속도 상수는 Guggenheim식¹⁷을 이용하여 구하였으며, 2~4회 측정하여 평균값을 취하였다.

결과 및 고찰

MeOH-Me₂CO 혼합용매계에서 t -BuX(X=Cl, Br, I)와 1-AdOTs의 가용매 분해반응에 대한 반응속도 상수값을 Table 1에 요약하였다.

Table 1의 반응속도 상수는 혼합용매의 MeOH 함량이 증가할수록 반응속도 상수도 따라서 증가함을 보여주고 있다. MeOH-MeCN 혼합용매계에서 t -BuX의 가용매 분해반응은⁹ 이탈기에 따라 다르긴 하지만 혼합용매의 MeOH 함량이 50~80v/v%인 영역에서 최대 반응속도 현상이 나타남을 보여주나, MeOH-Me₂CO 혼합용매계에서의 반응은 순수한 MeOH에서 반응속도 상수가 가장 큰 값을 보여주고 있다. 이와 같은 결과는 Me₂CO의 카르보닐 산소가 MeCN의 질소보다도 용매의 염기도(solvent basicity)가 크기때문에^{18, 19}, Me₂CO의 첨가에 따라 첨가비대로 MeOH의 수소결합 구조를 파괴하고 유리된 OH 작용기를 Me₂CO...H-OMe 형태로 붙잡아버리기 때문으로 볼 수 있다. MeOH는 E_T^{20} 및 Z^{21} 값등이 나타내는 바와 같이 Me₂CO 보다는 극성이 더 큰 용매이며, 또한 medium의 유전효과에 의해 하전 또는 쌍극자를 안정화시켜 주는 능력의 척도인 용매의 극성-편극성(π^*)효과²² 역시 Me₂CO($\pi^*=0.71$)의 경우가 MeOH($\pi^*=0.60$)에 비하여 별로 크지 못하므로, 혼합용매의 Me₂CO 함량 증가에 의해 발생되는 수소결합주제(α)효과의 감소에 의한 용매화의 감소를

Table 1. First order rate constants^a and activation parameters for solvolysis of *tert*-butyl halides and 1-adamantyl tosylate in methanol-acetone mixtures

compd	solvent ^b	k, s ⁻¹			$\Delta H^{\ddagger d}$	$\Delta S^{\ddagger e}$
		25. 0°C ^c	35. 0°C	45. 0°C		
<i>t</i> -BuCl ^f	100	0.753 ^g				
	90	0.701	5.28±0.13 ^h	20.8±0.6 ⁱ	24.1	-5.7
	80	0.577 ^j				
	70	0.411	3.08±0.03 ^k	12.0±0.2 ⁱ	23.9	-7.4
	60	0.284 ^j				
	50	0.171	1.96±0.05 ^k	6.13±0.09 ⁱ	25.5	-4.0
	40	0.101 ^j				
<i>t</i> -BuBr ^l	100	3.65 ^{s, m}	13.0±0.3	46.7 ^g	24.5	2.5
	90	2.86	10.9±0.2	38.1±0.5	23.8	0.5
	80	2.45	9.10±0.25	31.1±0.2	23.3	-1.3
	70	2.09	7.41±0.11	24.2±0.4	22.5	-4.6
	60	1.76	5.81±0.10	17.8±0.1	21.2	-9.1
	50	1.44	4.50±0.02	13.1±0.2	20.2	-12.9
	40	1.14	3.29±0.10	8.89±0.11	18.8	-18.2
	30	0.824	2.30±0.11	6.01±0.08	18.1	-21.0
<i>t</i> -BuI ⁿ	100	1.43 ^g	4.64 ^g	15.5 ^g	22.9	0.5
	90	1.21	4.28±0.02	14.0±0.1	23.0	-1.0
	80	1.07	3.81±0.08	12.5±0.3	22.5	-1.1
	70	0.966	3.41±0.02	11.1±0.4	22.4	-1.8
	60	0.876	3.01±0.02	9.55±0.10	19.9	-3.6
	50	0.755	2.63±0.04	8.46±0.10	22.2	-3.0
	40	0.660	2.29±0.08	7.34±0.15	22.1	-3.5
	30	0.567	1.86±0.09	5.65±0.01	21.0	-7.8
1-AdOTs ^o	100	5.53±0.01 ^p	18.8±0.1		21.7	-0.5
	90	4.06±0.01 ^p	14.3±0.1		22.4	1.1
	80	2.68±0.01 ^p	10.6±0.1		24.5	7.3
	70	1.75±0.01 ^p	6.25±0.01		22.6	0.2
	50	0.599	2.36±0.04	8.76±0.11 ^q	24.4	4.1

^a Determined conductometrically in duplicate or quadruplicate; errors shown are average deviations. ^b Volume percent of methanol. ^c Calculated Values from data at other temperatures except where otherwise noted. ^d kcal/mole. ^e eu. ^f 10⁵k. ^g Reference 9. ^h At 40.2°C. ⁱ At 51.4°C. ^j Reference 23. ^k At 42.5°C. ^l 10⁵k. ^m Literature, 10⁵k: 3.44⁴. ⁿ 10⁴k. ^o 10⁴k. ^p Determined conductometrically in duplicate. ^q At 45.2°C.

Me₂CO에 의한 극성-편극성 효과의 증가로 극복할 수 없을 것으로 생각된다. 따라서 MeOH-MeCN 혼합용매에서의 경우⁹와는 달리 MeOH에 Me₂CO가 첨가됨에 따라 반응속도가 급격히 감소되는 결과를 나타낸다고 볼 수 있다.

MeOH-Me₂CO 혼합용매계에서 2-AdOClO₃의 가용매 분해반응은 60v/v% MeOH 부근에서 최대반응속도 현상이 나타나지²³, Table 1의 1-AdOTs의 경우는 순수한 MeOH에서 최대 반

응속도 상수값을 보이는 것은 ClO₄⁻에 대한 용매의 electrophilic assistance가 OTs⁻ 이탈기인 경우에 비해 작기 때문에 생각된다^{23, 24}.

Table 2에는 MeOH-CHCl₃ 혼합용매계에서의 *t*-BuBr의 가용매 분해반응에 대한 반응속도 상수값을 요약하였다. 용매조성 변화에 따른 반응속도 상수의 변화는 MeOH-Me₂CO 혼합용매계에서의 경우와 유사한 결과를 보이고 있으나, 혼합용매의 MeOH 함량 감소에 따른 반응속도

Table 2. First order rate constants^a and activation parameters for solvolysis of *tert*-butyl bromide in methanol-chloroform mixtures

solvent ^b	10 ⁵ k, s ⁻¹			$\Delta H^{\ddagger d}$	$\Delta S^{\ddagger e}$
	25. 0°C ^c	35. 0°C	45. 0°C		
100	3.65 ^f	13.0±0.3	46.7 ^f	24.3	2.5
90	3.52	12.7±0.4	42.2±0.2	22.8	-2.4
80	3.12	11.3±0.2	37.7±0.2	22.9	-2.4
70	2.86	9.92±0.05	31.8±1.4	22.1	-5.2
60	2.65	8.80±0.06	27.1±0.6	21.3	-8.0
50	2.28	7.54±0.05	23.1±0.1	21.2	-8.6
40	2.02	6.40±0.20	18.8±0.3	20.4	-11.6
30	1.66	5.30±0.02	15.7±0.2	20.6	-11.4

^a Determined conductometrically in duplicate; errors shown are average deviations. ^b Volume percent of methanol. ^c Calculated values from data at other temperatures except where otherwise noted. ^d kcal/mole.

^e eu. ^f Reference 9.

상수의 감소 폭은 Me₂CO의 경우에 비해 작을 수 있다. 이와 같은 결과는 다음과 같은 효과때문으로 볼 수 있다. Taft²²가 제시한 용매의 수소결합주기(α) 효과는 CHCl₃($\alpha=0.44$)가 Me₂CO($\alpha=0.08$)보다 상당히 크며 용매의 극성-편극성(π^*) 효과는 Me₂CO($\pi^*=0.71$)가 CHCl₃($\pi^*=0.58$)보다 크다. MeOH-Me₂CO 혼합용매계에서의 경우와 마찬가지로 MeOH에 CHCl₃ 가 첨가됨에 따라 나타나는 용매의 수소결합주기 효과의 감소를 CHCl₃의 극성-편극성 효과로 극복할 수 없을 것이며 따라서 혼합용매의 CHCl₂ 함량이 증가할수록 반응속도 상수는 감소될 것이다. 그러나 MeOH-CHCl₃ 혼합용매계에서의 경우가 MeOH-Me₂CO 혼합용매계에서의 경우보다 MeOH 함량 감소에 따른 반응속도 상수의 감소폭이 작게 나타난 것은 CHCl₃의 경우는 Me₂ CO보다 수소결합주기 효과가 크기 때문에 *t*-BuBr과 *t*-Bu-Br...H-C(Cl)₃ 형태의 수소결합이 가능할 것이며, 이와 같은 효과는 이탈기 Br에 대한 electrophilic assistance를 증가시켜 MeOH의 함량 감소에 따른 반응속도 상수의 감소는 cosolvent가 Me₂CO인 경우보다는 CHCl₃인 경우가 작게 나타나는 것으로 생각된다.

Table 3에 25°C 때의 반응속도 자료와 함께 Grunwald-Winstein 식으로부터 구한 MeOH-Me₂CO 혼합용매의 Y 값을 요약하였다. Y 값은 각 기질에 대해 m=1로 하여 구하였다. Y 값은

기질에 따라 크게 다르며 MeOH 함량이 적은 용매계에서 차이가 더 크게 남을 수 있다. 50~100v/v% MeOH 용매조성에서 Y 값의 변화 폭은 1-AdOTs의 경우가 0.965로 가장 크며, *t*-BuX의 경우는 *t*-BuCl인 경우가 0.642로 가장 크게 변화됨을 알 수 있다. 따라서 용매 조성변화에 따른 Y 값의 변화는 MeOH-MeCN 혼합용매계에서와 마찬가지로 용매와 이탈기 사이의 수소결합효과가 크게 나타나는 기질에 대해 가장 크게 변화됨을 알 수 있다. Table 3에서 k_{Br}/k_{Cl} 비와 k_I/k_{Cl} 비 값은 100~40v/v% MeOH 용매조성 범위에서 각각 약 40~110배와 170~650배 정도 증가한 것을 알 수 있다. *t*-BuX의 용매에 의한 *t*-Butyl 양이온((CH₃)₃C⁺)의 안정화 정도는 비슷하다고 생각되며 이탈기가 Cl인 경우에 비하여 Br과 I인 경우에 속도상수의 비가 크게 증가한 것은 이들 음이온의 이탈기 능력의 순서가 Cl<Br<I인 것과 일치되는 결과이다. 한편 100MeOH에서보다 40v/v% MeOH에서의 k_{Br}/k_{Cl} 및 k_I/k_{Cl} 의 비가 각각 2.4배와 3.4배 만큼 큼을 알 수 있다. 양성자성 용매와 비양성자성 극성용매사이의 중요한 차이점의 하나는 음이온을 용매화시키는 능력에 있다고 생각되며 큰 하전 밀도를 갖는 작은 음이온은 강한 수소결합반응으로 양성자성 용매에서 강하게 용매화 된다. Table 3에서 혼합용매의 비양성자성 극성 용매인 Me₂CO 함량이 많은 영역으로 갈수

Table 3. First order rate constants for solvolysis of *tert*-butyl halides and 1-admantyl tosylate in Methanol-acetone mixtures at 25.0°C and various Solvent ionizing power Y values

compd	$k \times 10^6 \text{ s}^{-1}$							
	100MeOH	90MeOH	80MeOH	70MeOH	60MeOH	50MeOH	40MeOH	80EtOH/H ₂ O
<i>t</i> -BuCl	0.753	0.701	0.577 ^a	0.411	0.284 ^a	0.171	0.101 ^a	9.24 ^b
<i>t</i> -BuBr	36.5	28.6	24.6	20.9	17.6	14.4	11.4	358 ^b
<i>t</i> -BuI	143	121	107	96.6	87.6	75.5	66.0	926 ^b
1-AdOTs	553	406	268	175		59.9		4030 ^c
Y_{Cl}	-1.089	-1.120	-1.204	-1.352	-1.512	-1.733	-1.961	
Y_{Br}	-0.992	-1.098	-1.165	-1.234	-1.308	-1.396	-1.497	
Y_{I}	-0.811	-0.884	-0.937	-0.982	-1.024	-1.089	-1.147	
$Y_{1-\text{AdOTs}}$	-0.863	-0.997	-1.177	-1.362		-1.828		
$k_{\text{Br}}/k_{\text{Cl}}$	48	41	43	51	62	84	113	
$k_{\text{I}}/k_{\text{Cl}}$	190	173	185	235	308	442	653	

^a Reference 23. ^b P. v. R. Schleyer and R. D. Nicholas, *J. Am. Chem. Soc.*, 83, 2700(1961). ^c Reference 16.

특 $k_{\text{Br}}/k_{\text{Cl}}$ 과 $k_{\text{I}}/k_{\text{Cl}}$ 비가 증가한 것은 강한 수소 결합 상호작용을 하지 않는 I 이온 같이 크게 편극화된 음이온이 Br이나 Cl이온인 경우보다도 용매화가 잘 된다는 것을 의미하며, Cl(hard anion)은 수소결합 상호작용을 크게 할 수 있는 양성자성 용매에서 더 잘 용매화됨을 알 수 있다.

Fig. 1에는 $Y_{1-\text{AdOTs}}$ 에 대한 Y_{Cl} , Y_{Br} 및 Y_{I} 의 관계를 도시하였다. Y_{Cl} 과의 도시에서는 $m=$

0.69($n=5$, $r=0.987$) 값을 나타내며 Y_{Br} 과의 도시에서는 $m=0.40(n=5, r=0.989)$ 값을, 그리고 Y_{I} 와의 도시에서는 $m=0.27(n=5, r=0.986)$ 임을 보여주고 있다. m 값의 비가 1-AdOTs : *t*-BuCl : *t*-BuBr : *t*-BuI에 대해 1 : 0.69 : 0.40 : 0.27을 나타내는 것은 *t*-BuBr과 *t*-BuI가 MeOH-Me₂CO 혼합용매에 의한 수소 결합 효과(electrophilic assistance)를 *t*-BuCl보다도 적게 받는다는 것을 의미하며, 1-AdOTs의 경우는 *t*-BuCl보다도 용매의 수소결합효과를 더 많이 받는다는 것을 의미한다. 이와 같은 본 연구의 결과는 이탈기에 대한 용매의 electrophilic assistance의 순서²⁵가 OTs>Cl>Br>I인 것과 일치한다.

본 연구의 일부는 한국과학재단과 한국이론물리 및 화학연구회의 연구비로 이루어진 것이며 이에 사의를 표하는 바이다.

인용 문헌

- E. Grunwald and S. Winstein, *J. Am. Chem. Soc.*, **70**, 846 (1948).
- S. Winstein, E. Grunwald, and H. W. Jones, *J. Am. Chem. Soc.*, **73**, 2700 (1951).
- A. H. Fainberg and S. Winstein, *J. Am. Chem. Soc.*, **78**, 2770 (1956).
- A. H. Fainberg and S. Winstein, *J. Am. Chem. Soc.*, **78**, 2770 (1956).

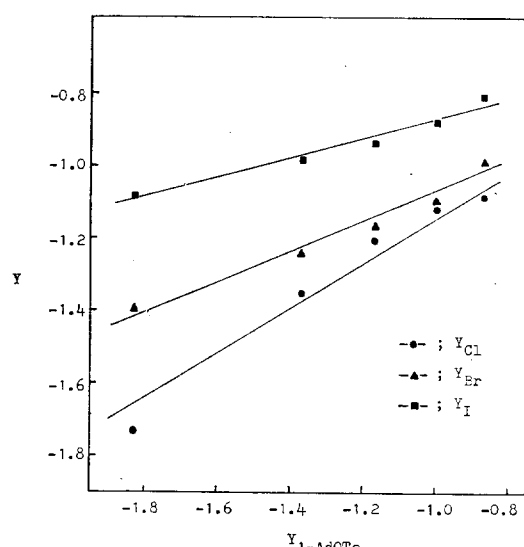


Fig. 1. Plots of Y_{Cl} , Y_{Br} and Y_{I} vs. $Y_{1-\text{AdOTs}}$.

- Soc.*, **79**, 1602 (1957).
5. G. J. Frisone and E. R. Thornton, *J. Am. Chem. Soc.*, **90**, 1211 (1968).
 6. A. J. Parker, U. Mayer, R. Schmid, and V. Gutmann, *J. Org. Chem.*, **43**, 1843 (1978).
 7. T. W. Bentley and G. E. Carter, *J. Am. Chem. Soc.*, **104**, 5741 (1982).
 8. M. H. Abraham, R. W. Taft, and M. J. Kamlet, *J. Org. Chem.*, **46**, 3053 (1981).
 9. I. Lee, B-S. Lee, I.S. Koo, and S.C. Sohn, *Bull. Korean Chem. Soc.*, **4**, 189 (1983).
 10. Y. Sakong, S.C. Kim, and J.B. Choo, *J. Korean Chem. Soc.*, **30**, 265 (1986).
 11. D.N. Kevill and S.W. Anderson, *J. Am. Chem. Soc.*, **108**, 1579 (1986).
 12. I. Lee, B-S. Lee, S.C. Sohn, and B.C. Lee, *Bull. Korean Chem. Soc.*, **6**, 19 (1985).
 13. T. W. Bentley, C. T. Bowen, W. Parker, C. I. F. Watt, *J. Am. Chem. Soc.*, **101**, 2486 (1979).
 14. D.D. Perrin, W.L.F. Armdregg, and D.R. Perrin, "Purification of Laboratory Chemicals", 2nd Ed., Pergamon Press, Oxford, 1980.
 15. P. R. Luton and M.C. Whiting, *J. Chem. Soc. Perkin* **2**, 1507 (1979).
 16. D. N. Kevill, K.C. Kolwyck, and F. L. Weitl, *J. Am. Chem. Soc.*, **92**, 7300 (1970).
 17. E.A. Guggenheim, *Phil. Mag.*, **2**, 538 (1928).
 18. G. Briegleb, *Argew. Chem., Int. Ed. Engl.*, **3**, 617 (1964).
 19. M.J. Kamlet, J-L.M. Abboud, and R.W. Taft, *Prog. Phys. Org. Chem.*, **13**, 485 (1981).
 21. C. Reichardt, Justus Liebig, *Ann. Chem.*, **752**, 64 (1971).
 21. E.M. Kosowar, *J. Am. Chem. Soc.*, **80**, 3253 (1958).
 22. M. J. Kamlet, J-L. M. Abboud, M. H. Abraham, and R. W. Taft, *J. Org. Chem.*, **48**, 2877 (1983).
 23. D. N. Kevill and M. S. Bahari, *J. Chem. Soc. Chem. Commun.*, 572 (1982).
 24. D. N. Kevill, M. S. Bahari, and S. W. Anderson, *J. Am. Chem. Soc.*, **106**, 2895 (1984).
 25. T. W. Bentley and K. Roberts, *J. Org. Chem.*, **50**, 4821 (1985).